



Paper Type: Original Article



## Two-level Efficiency Evaluation of Centralized Star Networks

Mohammad Afzalinejad<sup>1,\*</sup>, Neda Afzalinejad<sup>2</sup>

<sup>1</sup> Department of Mathematics, Tafresh University, Tafresh, Iran; afzalinejad@tafreshu.ac.ir.

<sup>2</sup> Department of Industrial Engineering, Tafresh University, Tafresh, Iran; neda.afzalinejad@gmail.com.

Citation:



Afzalinejad, D., & Afzalinejad, N. (2022). Two-level efficiency evaluation of centralized star networks. *Journal of decisions and operations research*, 7(4), 596-609.

Received: 10/01/2021

Reviewed: 19/02/2021

Revised: 28/05/2021

Accepted: 16/06/2021

### Abstract

**Purpose:** The paper addresses the star network structures with centralized management and provides models for evaluating the performance of such structures. Despite the wide range of applications and importance, such structures have not been studied in data envelopment analysis before.

**Methodology:** The Data Envelopment Analysis (DEA) method is used for modeling the problem, and a two-level method for efficiency evaluation is proposed.

**Findings:** The proposed models are developed in both multiplicative and envelopment forms. The required formulas for efficiency decomposition and benchmarking are provided. Some results are proved by mathematical discussions and numerical experimentation.

**Originality/Value:** The star structure is seen in many real-world applications. A new method for modelling and evaluation of such structures is introduced and established. The proposed technique, discussions and analytical examinations have a significant contribution to the field of data envelopment analysis and its applications.

**Keywords:** Network DEA, Star graph, Centralized management, Two-level, Efficiency decomposition.



Corresponding Author: afzalinejad@tafreshu.ac.ir



<http://dorl.net/dor/20.1001.1.25385097.1401.7.4.8.9>



Licensee. **Journal of Decisions and Operations Research**. This article is an open access article distributed under the terms and conditions of the Creative Commons Attribution (CC BY) license (<http://creativecommons.org/licenses/by/4.0/>).



## نوع مقاله: پژوهشی

### ارزیابی کارایی دوستطحی در شبکه‌های ستاره‌ای متمرکز

محمد افضلی نژاد<sup>۱\*</sup>، ندا افضلی نژاد<sup>۲</sup>

<sup>۱</sup>گروه ریاضی، دانشکده ریاضی، دانشگاه تفرش، تفرش، ایران.

<sup>۲</sup>گروه مهندسی صنایع، دانشگاه تفرش، تفرش، ایران.

چکیده

**هدف:** مقاله به بررسی ساختارهای شبکه‌ای ستاره‌ای با مدیریت متمرکز می‌پردازد و مدل‌های جهت ارزیابی کارایی چنین ساختارهایی ارایه می‌دهد. علی‌رغم کاربرد و اهمیت زیاد، چنین ساختارهایی در تحلیل پوششی داده‌ها مورد مطالعه قرار نگرفته‌اند.

**روش‌شناسی پژوهش:** از روش تحلیل پوششی داده‌ها برای مدل‌سازی استفاده می‌شود و یک روش دوستطحی برای ارزیابی کارایی در این نوع از شبکه‌ها پیشنهاد می‌شود.

**یافته‌ها:** مدل‌ها در دو شکل مضربی و پوششی توسعه داده می‌شوند. فرمول‌های لازم برای تجزیه کارایی و تصویرسازی واحدهای تصمیم‌گیرنده ارایه می‌گردند. برخی نتایج با استفاده از تحلیل نظری و عددی ثابت می‌گردند.

**اصالت/ارزش افزوده علمی:** نحوه ارزیابی ساختار شبکه‌ای ستاره‌ای که در بسیاری از مسائل دنیا واقعی دیده می‌شود معروف و پایه‌گذاری می‌گردد. تکنیک‌های پیشنهادی، بحث‌های نظری و روش‌های تحلیلی کمک موثری به توسعه تحلیل پوششی داده‌ها و کاربردهایش می‌نماید.

**کلیدواژه‌ها:** تحلیل پوششی داده‌های شبکه‌ای، گراف ستاره‌ای، مدیریت متمرکز، دوستطحی، تجزیه کارایی.

## ۱- مقدمه

تحلیل پوششی داده‌ها<sup>۱</sup> روشی است که توسط چارنز و همکاران<sup>۲</sup> (۱۹۷۸) برای ارزیابی کارایی نسبی واحدهای تصمیم‌گیرنده<sup>۳</sup> که چندین ورودی را به چندین خروجی تبدیل می‌کنند، ارایه گردید. مبنای ارزیابی در این روش، یک مرز کارایی قطعه‌ای-خطی است که داده‌ها را پوشش می‌دهد و از واحدهای شاخص یا کارا عبور می‌کند. کارایی واحدهای اساس فاصله آن‌ها با این مرز تعیین می‌گردد. روش DEA توجه زیادی را در بین پژوهشگران و مدیران به خود جلب نموده و مطالعات در این زمینه بسیار گسترده بوده است. در مدل‌های متعارف واحدهای ارزیابی بر اساس ورودی‌های اولیه و خروجی‌های نهایی با یکدیگر مقایسه شده و عملیات داخلی و روابط بین اجزای تشکیل دهنده DEA مورد ارزیابی قرار نمی‌گیرد. در بسیاری از کاربردها، DMUs دارای ساختار داخلی شبکه‌مانندی هستند که در طی آن، ورودی‌ها به

<sup>1</sup> Data Envelopment Analysis (DEA)  
<sup>2</sup> Charnes et al.

<sup>3</sup> Decision Making Units (DMU)

\* نویسنده مسئول



محصولات میانی و سپس به خروجی‌های نهایی تبدیل می‌گردد. در چنین ساختارهایی، عملیات تولید از تعدادی فرآیند تشکیل شده است که محصولات نهایی با گذر از این فرآیندها به دست می‌آیند. به هر یک از این فرآیندها، یک زیر واحد تصمیم‌گیرنده می‌گویند.



فیر و گراسکوف<sup>۱</sup> (۱۹۹۶، ۲۰۰۰) اولین مدل‌های شبکه‌ای کلی را در تحلیل پوششی داده‌ها مطرح کردند تا علاوه بر کارایی کلی یک سازمان، کارایی بخش‌هایی را نیز ارزیابی نمایند. کستلی و همکاران<sup>۲</sup> (۲۰۰۴) مدل‌هایی برای ارزیابی ساختارهای شبکه‌ای چندلایه که هر لایه از تعدادی زیر واحد موازی تشکیل شده است ارایه کردند. لوئیس و سکستون<sup>۳</sup> (۲۰۰۴)، ساختار شبکه‌ای را معرفی کردند که در آن یک زیر واحد می‌تواند یک ورودیش را از چندین زیر واحد دیگر دریافت کند. آن‌ها مدل‌هایی برای ارزیابی کارایی شعاعی ارایه کردند و نشان دادن که اگر یک *DMU* کارای کلی باشد مسیری مت Shank از گره ابتدایی به گره انتهایی وجود دارد. تون و سوتسویی<sup>۴</sup> (۲۰۰۹) یک مدل مبتنی بر اسلک‌ها برای ارزیابی کارایی یک شبکه بر حسب کارایی اجزایی ارزیابی پیشنهاد دادند. آن‌ها کارایی کلی *DMU* را به صورت میانگین وزن دار کارایی اجزای سازنده *DMU* بیان نمودند. کاربرد تحلیل پوششی داده‌های شبکه‌ای در پیش‌بینی و رتبه‌بندی فاکتورهای جذب مشتری در شرکت‌های بیمه توسط کاوه و همکاران<sup>۵</sup> (۲۰۲۰) مورد پژوهش قرار گرفت. آن‌ها برای این منظور از ابزار پویایی‌شناسی برای ایجاد داده‌های ورودی و خروجی مدل تحلیل پوششی داده‌های شبکه‌ای استفاده نمودند. کوک و همکاران<sup>۶</sup> (۲۰۱۰) ابتدا ساختارهای چند مرحله‌ای با ورودی و خروجی‌های داخلی و خارجی در هر مرحله را معرفی کرده و سپس آن را به شبکه‌های کلی تر توسعه دادند. برای ارزیابی فرآیندهای دوم مرحله‌ای، کائو و هوانگ<sup>۷</sup> (۲۰۰۸) شبکه‌ای مت Shank از دو گره که به صورت سری به هم مرتبط هستند در نظر گرفته و کارایی *DMU* را با دو فرض مدیریت متمرکز و نامتمرکز محاسبه کردند. چن و همکاران<sup>۸</sup> (۲۰۰۹) کارایی ساختار دوم مرحله‌ای را به صورت مجموع کارایی مراحل تجزیه نمودند. ساختارهای دوم مرحله‌ای با برخی ورودی‌های اشتراکی از دیگر موضوعات مورد مطالعه در این زمینه است (امیرتیموری<sup>۹</sup>، ۲۰۱۳). با تعیین توزیع بهینه ورودی‌های اشتراکی بین گره‌ها، بالاترین عملکرد کلی برای هر *DMU* به دست می‌آید. امیرتیموری و یانگ<sup>۱۰</sup> (۲۰۱۴) ساختاری دوم مرحله‌ای را بررسی نمودند که در مرحله اول دو زیر واحد موازی و در مرحله دوم یک زیر واحد وجود دارد. زیر واحدهای مرحله اول دارای برخی ورودی‌های اشتراکی بوده و به صورت سری به زیر واحد مرحله دوم متصل گردیده‌اند. رحیمی و حسین‌زاده سلجوچی<sup>۱۱</sup> (۲۰۱۷)، از برنامه‌ریزی چند‌هدفه برای ارزیابی کارایی زنجیره‌های تامین دوم مرحله‌ای استفاده نمودند. هر تابع هدف در مدل آن‌ها، کارایی یکی از دوم مرحله را بیان می‌نماید.

در رابطه با کاربردهای تحلیل پوششی داده‌های شبکه‌ای، پژوهش‌های زیادی در ادبیات موضوع گزارش شده است. در میان این پژوهش‌ها می‌توان به ارزیابی کارایی شرکت‌های گاز در ایران (امیرتیموری و همکاران، ۲۰۱۵)، ارزیابی کارایی بانک‌های بنگالادش (آکتر و همکاران<sup>۱۲</sup>، ۲۰۱۳)، بررسی عملکرد زنجیره تامین شرکت‌های رزین در ایران (رحیمی و حسین‌زاده سلجوچی، ۲۰۱۷)، ارزیابی تیم‌های بیسبال لیگ آمریکا (لوئیس و سکستون، ۲۰۰۴)، تحلیل عملکرد شرکت‌های برق (تن و سوتسویی، ۲۰۰۹)، ارزیابی فروندگاه‌های اسپانیا (مقبولی و همکاران<sup>۱۳</sup>، ۲۰۱۴) و مقایسه و رتبه‌بندی شبکه‌یک بانک خصوصی در تهران (واعظی و معمارپور<sup>۱۴</sup>، ۲۰۱۸) اشاره نمود.

ساختارهای شبکه‌ای، شکل‌های بسیار متنوعی مثل سری، موازی، سلسله مراتبی و غیره دارند. یک شکل خاص در ساختارهای شبکه‌ای، حالتی است که در آن مجموعه‌ای از زیر واحدها یا شعب یک سازمان، تحت ناظارت یک بخش مرکزی یا هسته قرار دارند. چنین ساختاری تشکیل یک گراف ستاره‌ای می‌دهد که در این مقاله آن را ساختار ستاره‌ای می‌نامیم. در این ساختار، هر زیر واحد یک گره یا راس گراف ستاره‌ای است. مسایل کاربردی زیادی را می‌توان مثال زد که دارای ساختار ستاره‌ای هستند. شبکه‌یک بانک، دانشکده‌های یک دانشگاه، نمایندگی‌های یک تولیدکننده، شبکه‌یک فروشگاه زنجیره‌ای و تیم‌های ورزشی یک باشگاه مثال‌هایی از ساختار ستاره‌ای هستند. به علاوه، یان و همکاران<sup>۱۵</sup> (۲۰۱۹) نشان دادند که می‌توان هر شبکه‌ای را به یک شبکه ستاره‌ای (خورشیدی) تبدیل نمود. آن‌ها برای این کار از یک گره مجازی استفاده نمودند که دیگر گره‌ها از آن طریق با یکدیگر ارتباط پیدا می‌کنند. بدین ترتیب با داشتن یک ساختار مشابه، می‌توان تمام شبکه‌ها را با مدلی مشابه ارزیابی نمود. یان و همکاران (۲۰۱۹) برای ارزیابی شبکه ستاره‌ای حاصل شده، مدل‌هایی مبتنی

<sup>۱</sup> Färe and Grosskopf

<sup>۲</sup> Castelli et al.

<sup>۳</sup> Lewis and Sexton

<sup>۴</sup> Tone and Tsutsui

<sup>۵</sup> Kaveh et al.

<sup>۶</sup> Cook et al.

<sup>۷</sup> Kao and Hwang

<sup>۸</sup> Chen et al.

<sup>۹</sup> Amirteimoori

<sup>۱۰</sup> Amirteimoori and Yang

<sup>۱۱</sup> Rahimi and Hosseinzadeh Saljooghi

<sup>۱۲</sup> Akther et al.

<sup>۱۳</sup> Maghbouli et al.

<sup>۱۴</sup> Vaezi and Memarpour

<sup>۱۵</sup> Yan et al.



بر اسلک در حالت‌های ایستا و پویا ارایه نمودند. امانی و باقرزاده ولی<sup>۱</sup> (۲۰۱۸) از روشی مشابه برای تبدیل یک ساختار شبکه‌ای کلی به ساختار ستاره‌ای استفاده نمودند و مدل‌هایی شعاعی و مبتنی بر اسلک پیشنهاد دادند. آن‌ها با استفاده از این روش به ارزیابی کارایی شرکت‌های برق منطقه‌ای ایران پرداختند. اگرچه روش به کاررفته توسط یان و همکاران (۲۰۱۹) و امانی و باقرزاده ولی<sup>۲</sup> (۲۰۱۸) در تبدیل یک شبکه کلی به یک شبکه ستاره‌ای جالب به نظر می‌رسد ولی مدل به کاررفته برای ارزیابی کارایی شبکه ستاره‌ای حاصل دارای برخی ابهامات است.

در ارزیابی شبکه‌های ستاره‌ای، رعایت اولویت زیرواحدها ضروری است. در ساختارهای دومرحله‌ای این کار با در نظر گرفتن یک زیرواحد به عنوان پیشو و دیگری به عنوان پیرو انجام می‌شود (لیانگ و همکاران<sup>۳</sup>، ۲۰۰۸). اما در اینجا با توجه به اهمیت زیرواحد مرکزی، اولویت بالاتری به زیرواحد مرکزی داده می‌شود و ارزیابی کارایی کلی شبکه با حفظ کارایی زیرواحد مرکزی صورت می‌گیرد. با توجه به کاربرد زیاد شبکه‌های ستاره‌ای لازم است چنین ساختارهایی به طور خاص موردمطالعه قرار گیرند. در این مقاله، ساختارهای ستاره‌ای به عنوان حالت خاصی از *DEA* شبکه‌ای معرفی می‌شوند و با تعریف اولویت دوستحی، مدل‌های لازم برای ارزیابی کارایی چنین ساختارهایی ارایه می‌گردند. همچنین، کارایی کلی ساختار ستاره‌ای به کارایی زیربخش‌هاییش تجزیه شده و به شکل مجموع وزن‌داری از آن‌ها تعریف می‌گردد. تصویرسازی بر روی مرز کارایی با استفاده از شکل پوششی مدل پیشنهادی، بیان شده و شرایط لازم برای کارایی قوی نقطه تصویر می‌گردد. با استفاده از یک مثال عددی، نحوه به کارگیری مدل‌ها و تحلیل جواب‌ها بیان و صحبت روابط ریاضی و نتایج نظری بررسی می‌گردد.

ترتیب ارایه مطالب در این مقاله به این شرح است: در بخش ۲، برخی از مدل‌های موجود برای ارزیابی ساختارهای شبکه‌ای مژور می‌گردد. بخش ۳، ساختار ستاره‌ای را معرفی می‌نماید و مدل‌های تحلیل پوششی داده‌ها را برای ارزیابی آن توسعه می‌دهد. در بخش ۴، یک مثال عددی برای بررسی مدل‌های پیشنهادی شرح داده می‌شود. نتیجه‌گیری مقاله در بخش ۵ آورده می‌شود.

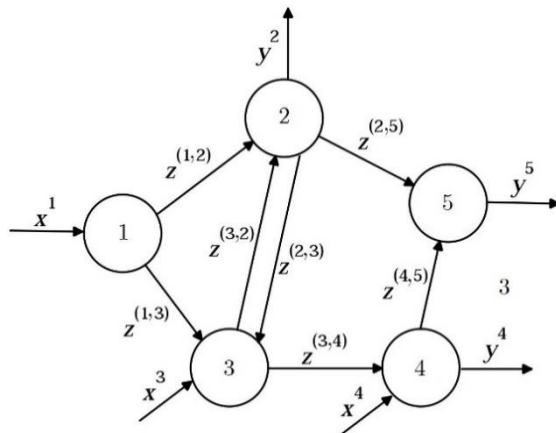
## ۲- بیان مساله

واحد تصمیم‌گیرنده  $DMU_j$  با ساختار شبکه‌ای متجانس در نظر بگیرید ( $j = 1, \dots, n$ ). هر واحد از  $h$  بخش یا زیرواحد (*DMUs*) تشکیل شده است که به صورت یک شبکه به هم مرتبط هستند (شکل ۱).  $y_j^k \in R^{m_k}$  و  $x_j^k \in R^{m_k}$  به ترتیب ورودی‌ها و خروجی‌های بیرونی بخش  $k^{th}$  است.  $z_j^{(t,k)} \in R^{d_{(t,k)}}$  محصول میانی است که بخش  $t$  تولید و بخش  $k$  دریافت می‌کند ( $t, k = 1, \dots, h$ ). همان‌طور که در مقدمه اشاره شد مدل‌های متنوعی برای ارزیابی کارایی ساختارهای شبکه‌ای در تحلیل پوششی داده‌ها پیشنهاد گردیده است. یکی از مدل‌هایی موردنظر، مدل تن و سوتسویی (۲۰۰۸) است. این مدل یک مدل مبتنی بر اسلک‌هاست و به صورت زیر بیان می‌گردد که  $DMU_o$  واحد تحت ارزیابی است ( $o = 1, \dots, n$ ).

$$\begin{aligned} \min & \quad \frac{\sum_{k=1}^h w^k \left(1 - \frac{1}{m_k} \sum_{i=1}^{m_k} \frac{s_i^{k+}}{x_{i_o}^k}\right)}{\sum_{k=1}^h w^k \left(1 + \frac{1}{s_k} \sum_{r=1}^{s_k} \frac{s_r^{k+}}{y_{r_o}^k}\right)} \\ \text{s.t.} & \quad \sum_{j=1}^n \lambda_j^k x_j^k + s^{k+} = x_o^k, \quad k=1, \dots, h, \\ & \quad \sum_{j=1}^n \lambda_j^k y_j^k - s^{k+} = y_o^k, \quad k=1, \dots, h, \\ & \quad \sum_{j=1}^n \lambda_j^t z_j^{(t,k)} = \sum_{j=1}^n \lambda_j^k z_j^{(t,k)} \quad \forall (t, k) \\ & \quad \lambda^k \geq 0, \quad s^{k+} \geq 0, \quad k=1, \dots, h. \end{aligned}$$

<sup>1</sup> Amani and Bagherzadeh Valami

<sup>2</sup> Liang et al.



شکل ۱- ساختار شبکه‌ای کلی.

Figure 1- General network structure.

در مدل فوق فرض شده است که تولیدات میانی از نوع آزاد هستند. اگر پیوند بین بخش‌ها از نوع ثابت باشند به جای قیود

$$\sum_{j=1}^n \lambda_j^k z_j^{(t,k)} = z_o^{(t,k)} \quad \text{استفاده می‌شود. فوکویاما و میردهقان}^1 (۲۰۱۲)، \text{با توجه به}$$

خروجی بودن محصولات  $z_j^{(t,k)}$  برای بخش  $t$  و ورودی بودن برای بخش  $k$ ، قیود نامساوی زیر را برای نمایش پیوندها پیشنهاد دادند:

$$\sum_{j=1}^n \lambda_j^t z_j^{(t,k)} \geq z_o^{(t,k)}, \quad \sum_{j=1}^n \lambda_j^k z_j^{(t,k)} \leq z_o^{(t,k)}. \quad (1)$$

آن‌ها از یک روش دومرحله‌ای برای محاسبه کارایی کلی و کارایی هر یک از بخش‌ها استفاده نمودند؛ بدین ترتیب که کارایی کلی با ماکسیمم کردن اندازه کارایی  $SBM$  مشکل از اسلک‌های مربوط به ورودی‌ها و خروجی‌های بیرونی محاسبه می‌گردد و کارایی بخش‌ها با ماکسیمم کردن اندازه کارایی  $SBM$  مشکل از کلیه اسلک‌های میانی و با جایگذاری مقدار بهینه اسلک‌های خارجی حاصل از مدل کلی در قیود به دست می‌آید.

یک حالت خاص و پرکاربرد ساختارهای شبکه‌ای، ساختار دومرحله‌ای است که در آن شبکه شامل دو گره است که توسط پیوندها یا محصولات میانی  $z_{d_j} (d=1, \dots, D)$  به هم متصل گردیده‌اند.  $x_j$  ورودی‌های مرحله اول و  $y_j$  خروجی‌های مرحله دوم در نظر گرفته می‌شود. لیانگ و همکاران (۲۰۰۸) دو حالت مدیریت غیرمتمرکز (یا مشارکتی) و مدیریت متمرکز (یا مدل پیشرو-پیرو یا بازی استکلبرگ) را برای ساختارهای دومرحله‌ای فرض کرده و مدل‌هایی را برای هر دو حالت پیشنهاد نمودند. در حالت مدیریت غیرمتمرکز، مشابه مدل‌های شبکه‌ای، عملکرد  $DMU$  در تبدیل ورودی‌های بیرونی به خروجی‌های بیرونی با درنظر گرفتن پیوندهای میان مراحل ارزیابی می‌گردد. به عبارت دیگر، مدل غیرمتمرکز مشابه مدل‌های شبکه‌ای کلی فرموله می‌گردد و پیوندها مستقیماً در تابع هدف نقشی ندارند. در حالت متمرکز، یکی از مراحل، پیشرو بوده و در تصمیم‌گیری‌ها دارای اولویت است و مرحله دیگر پیرو بوده و دارای اولویت پایین‌تر است؛ بنابراین لازم است که این اولویت‌ها در ساخت مدل نیز لحاظ گردد. با فرض این‌که مرحله اول پیشرو و مرحله دوم پیرو باشد مدل‌های مضربی زیر کارایی مراحل را برآورد می‌کند.

$$e_1 = \max w z_o$$

s.t.

$$v x_o = 1,$$

$$w z_j - v x_j \leq 1, \quad j = 1, \dots, n,$$

$$v \geq 0, w \geq 0,$$

$$e_2 = \max u y_o$$

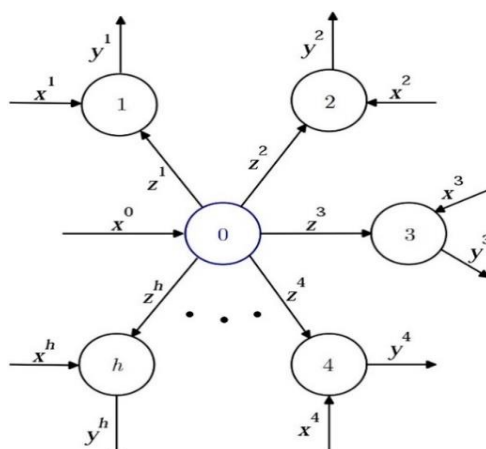
$$\begin{aligned} w z_o &= 1, \\ u y_j - w z_j &\leq 0, \quad j = 1, \dots, n \\ w z_j - v x_j &\leq 0, \quad j = 1, \dots, n \\ w z_o - e_i v x_o &= 1, \\ u \geq 0, w \geq 0. \end{aligned}$$

که  $v$ ،  $u$  و  $w$  به ترتیب بردار وزن ورودی‌ها، خروجی‌ها و پیوندها هستند و  $e_1$  کارایی مرحله اول و  $e_2$  کارایی مرحله دوم است. در محاسبه کارایی مرحله پیش رو، وزن‌ها به‌گونه‌ای تنظیم می‌شوند که کارایی مرحله اول حفظ گردد. پس از محاسبه کارایی مرحل می‌توان کارایی کلی یک واحد را با محاسبه میانگین (حسابی یا هندسی)  $e_1$  و  $e_2$  به دست آورد.



### ۳- شبکه‌های ستاره‌ای با مدیریت مرکز

در این بخش، ساختار شبکه‌ای معرفی می‌گردد که در بسیاری از مسایل دنیای واقعی دیده می‌شود و لازم است به طور خاص موردمطالعه و بررسی قرار گیرد. ساختار ستاره‌ای از یک گره یا زیرواحد مرکزی و تعدادی گره فرعی تشکیل گردیده است. معمولاً گره مرکزی مدیریت کلی شبکه و ناظر از آن را انجام می‌دهد و در تصمیم‌گیری‌ها دست بالا را دارد. گره‌های فرعی مستقیماً با گره مرکزی در ارتباط بوده و فقط در محدوده همان زیرواحد، دارای قدرت تصمیم‌گیری هستند. برای بیان و مدل‌سازی مساله، فرض کنید  $n$  واحد تصمیم‌گیرنده با ساختار متجانس جهت ارزیابی مدنظر قرار دارد. هر  $DMU$  دارای ساختار شبکه‌ای ستاره‌ای متشکل از  $h+1$  زیرواحد وابسته است. شبکه موردنظر در شکل ۲ نمایش داده شده است که در آن گره  $0$  زیرواحد مرکزی و گره‌های  $1, 2, \dots, h$  زیرواحد‌های فرعی هستند. زیرواحد مرکزی دارای یک بردار ورودی  $x^0$  و  $h$  بردار خروجی  $z^t$  به زیرواحد‌های  $t = 1, \dots, h$  است. بردارهای  $R^d$  در واقع، محصولات میانی هستند که بخشی از ورودی‌های زیرواحد‌های فرعی را تشکیل می‌دهد. در ساختار موردبحث در این مقاله، بردارهای  $z^t$  برای همه  $t$ ‌ها هم جنس بوده که به این معنی است که زیرواحد مرکزی خروجی‌های مشابه را به زیرواحد‌های فرعی ارسال می‌کند. هر زیرواحد فرعی  $t$  دارای  $m$  ورودی بیرونی و  $n$  خروجی است. این ورودی‌ها و خروجی‌ها را به ترتیب با بردارهای  $x^t$  و  $z^t$  نمایش می‌دهیم. فرض می‌کنیم بردارهای  $x^0, x^1, \dots, x^h$  و  $z^0, z^1, \dots, z^h$  برای هر  $t$  نامتفق و ناصرف باشند. نقش واحد مرکزی، تصمیم‌گیری‌های کلان و در اختیار گذاشتن برخی از منابع است. زیرواحد‌های فرعی با استفاده از منابعی که از واحد مرکزی دریافت و برخی ورودی‌های دیگر که خود مسئول تأمین آن هستند و با رعایت مقررات وضع شده توسط واحد مرکزی، اقدام به تولید خروجی‌های نهایی سیستم می‌نمایند. با فرض اینکه هر زیرواحد فقط با زیرواحد مرکزی در ارتباط باشد چنین ساختاری شباهت‌هایی با ساختار دو مرحله‌ای دارد؛ زیرا محصول نهایی، پس از گذر از دو مرحله یعنی مدیریت مرکزی و مدیریت محلی تولید می‌گردد. از طرفی چون شبکه این ساختار، متشکل از بیش از دو گره است نه، توان آن را دققاً یک ساختار دو مرحله‌ای دانست.



شکل ۲- ساختار شبکه‌ای ستاره‌ای.

در مدل‌سازی این مساله می‌خواهیم ارزیابی کارایی در دو سطح صورت گیرد: ۱- زیر واحد مرکزی، ۲- کل سیستم. به عبارت دیگر هدف اولیه، تعیین وزن‌ها به گونه است که کارایی زیر واحد مرکزی در مقایسه با دیگر واحدهای مرکزی ماقسیمم گردد و هدف ثانویه یافتن نمره کارایی، کلم ششکه است به طوری که مرکزی حفظ شود؛ بنابراین مساله دو هدفه زیر نشنهاد می‌گردد:



$$\begin{aligned}
 \max & \frac{w \sum_{t=1}^h z_o^t}{v^0 x_o^0}, \\
 \max & \frac{\sum_{t=1}^h u^t y_o^t}{v^0 x_o^0 + \sum_{t=1}^h v^t x_o^t}, \\
 \text{s.t.} & \frac{u^t y_j^t}{w z_j^t + v^t x_j^t} \leq 1, \quad j = 1, \dots, n, \quad t = 1, \dots, h, \\
 & \frac{w \sum_{t=1}^h z_j^t}{v^0 x_j^0} \leq 1, \quad j = 1, \dots, n, \\
 & v^t \geq 0, \quad t = 0, \dots, h, \\
 & u^t \geq 0, \quad t = 1, \dots, h, \\
 & w \geq 0.
 \end{aligned} \tag{2}$$

که  $v^0$  بردار وزن ورودی‌های گره مرکزی،  $v^t$  بردارهای وزن ورودی‌ها و خروجی‌های گره فرعی  $t = 1, \dots, h$  و  $w$  بردار وزن پیوند میان گره مرکزی و گره‌های فرعی است. توجه شود که چون همه گره‌های فرعی، ورودی‌های مشابه‌ای را از گره مرکزی دریافت می‌کنند پس بردار وزن یکسانی برای آن‌ها درنظر گرفته شده است. برای حالتی که پیوندهای میان گره مرکزی و گره‌های فرعی هم‌جنس نیستند توسعه مدل‌ها و نتایج مشابه است. چون در این مساله چندهدفه، توابع هدف دارای اولویت هستند و تابع هدف اول (کارایی مرکزی) دارای اولویت بالاتر است، مساله دوهدفه فوق به دو مساله تک هدفه زیر ساده می‌شود.

$$\begin{aligned}
 e^0 = \max & \frac{w \sum_{t=1}^h z_o^t}{v^0 x_o^0} \\
 \text{s.t.} & \frac{w \sum_{t=1}^h z_j^t}{v^0 x_j^0} \leq 1, \quad j = 1, \dots, n, \\
 & v^0 \geq 0, \\
 & w \geq 0.
 \end{aligned} \tag{3}$$
  

$$\begin{aligned}
 e^* = \max & \frac{\sum_{t=1}^h u^t y_o^t}{v^0 x_o^0 + \sum_{t=1}^h v^t x_o^t} \\
 \text{s.t.} & \frac{u^t y_j^t}{w z_j^t + v^t x_j^t} \leq 1, \quad j = 1, \dots, n, \quad t = 1, \dots, h, \\
 & \frac{w \sum_{t=1}^h z_j^t}{v^0 x_j^0} \leq 1, \quad j = 1, \dots, n, \\
 & \frac{w \sum_{t=1}^h z_o^t}{v^0 x_o^0} \geq e^0, \\
 & v^t \geq 0, \quad t = 0, \dots, h, \\
 & u^t \geq 0, \quad t = 1, \dots, h, \\
 & w \geq 0.
 \end{aligned} \tag{4}$$

مقادیر  $e^*$  و  $e^0$  به ترتیب کارایی کلی شبکه و کارایی زیر واحد مرکزی هستند. چون قیدهای مربوط به کارایی گره‌های فرعی در مدل (3) زاید هستند از مدل حذف گردیده‌اند. قید (4) تضمین می‌کند که نمره کارایی کلی شبکه در محاسبه کارایی گره مرکزی حفظ گردد؛ بنابراین برای ارزیابی کارایی شبکه، ابتدا کارایی گره مرکزی را بدون در نظر گرفتن مابقی شبکه، محاسبه می‌نماییم و سپس کارایی کلی شبکه با در نظر گرفتن روابط داخلی اجزای شبکه ارزیابی می‌گردد. چون ممکن است جواب‌های بهینه چندگانه برای گره مرکزی وجود داشته باشد وزن‌های بهینه حاصل از حل مدل (3) مستقیماً در مدل (4) جایگذاری نمی‌شود و به مدل (4) آزادی



عمل داده می‌شود تا انتخاب وزن‌ها را طوری انجام دهد که ضمن حفظ کارایی گره مرکزی، کارایی کلی شبکه نسبت به دیگر شبکه‌ها ماسکیم گردد.

اگرچه در مدل (۴)، کارایی گره مرکزی و گره‌های فرعی با کران بالای ۱ محدود شده‌اند هیچ کران بالای برای کارایی کلی شبکه تعريف نشده است. نتیجه زیر تضمین می‌کند که کارایی کلی شبکه هم دارای کران بالای ۱ است.

**نتیجه ۱-** نمره کارایی شبکه ( $e^*$ ) در مدل (۴) بزرگ‌تر از یک نیست.

**اثبات:** برای هر  $j$  با جمع کردن قیود  $u^t y_j^t \leq wz_j^t + v^t x_j^t$  روی  $t = 1, \dots, h$  داریم:

$$\sum_{t=1}^h u^t y_j^t \leq w \sum_{t=1}^h z_j^t + \sum_{t=1}^h v^t x_j^t \leq v^0 x_o^0 + \sum_{t=1}^h v^t x_j^t.$$

که در آن از نامساوی  $w \sum_{t=1}^h z_j^t \leq v^0 x_o^0$  مربوط به دسته قیود دوم مدل (۴) استفاده شده است. پس برای هر واحد تصمیم‌گیری  $j$  از جمله ۰، کارایی شبکه کوچک‌تر با مساوی یک است یعنی  $e^* \leq 1$ .

### ۱-۳-خطی سازی

مدل‌های (۳) و (۴) مدل‌های کسری هستند؛ اما مشابه مدل‌های کلاسیک DEA به مدل‌های خطی تبدیل می‌گردند. مدل (۳) با تعريف  $v^0 x_o^0 + \sum_{t=1}^h v^t x_o^t = \frac{1}{K}$  و انجام تغییر متغیرهای لازم خطی می‌گردد. مشابهًا مدل (۴) با تعريف  $v^0 x_o^0 + \sum_{t=1}^h v^t x_o^t = \frac{1}{\tau}$  و انجام تغییر متغیر به مساله برنامه‌ریزی خطی تبدیل می‌گردد. شکل خطی مدل‌های (۳) و (۴) را می‌توان به صورت زیر بیان نمود:

$$\begin{aligned} e^0 &= \max \quad w \sum_{t=1}^h z_o^t \\ \text{s.t.} \\ v^0 x_o^0 &= 1, \\ w \sum_{t=1}^h z_o^t - v^0 x_o^0 &\leq 0, \quad j = 1, \dots, n, \\ v^0 &\geq 0, \\ w &\geq 0. \end{aligned} \tag{5}$$

$$\begin{aligned} e^* &= \max \quad \sum_{t=1}^h u^t y_o^t \\ \text{s.t.} \\ v^0 x_o^0 + \sum_{t=1}^h v^t x_o^t &= 1, \\ u^t y_o^t - wz_j^t - v^t x_o^t &\leq 0, \quad t = 1, \dots, h, \quad j = 1, \dots, n, \\ w \sum_{t=1}^h z_o^t - v^0 x_o^0 &\leq 0, \quad j = 1, \dots, n, \\ -w \sum_{t=1}^h z_o^t + e^* v^0 x_o^0 &\leq 0, \\ v^t &\geq 0, \quad t = 0, \dots, h, \\ u^t &\geq 0, \quad t = 1, \dots, h, \\ w &\geq 0. \end{aligned} \tag{6}$$

با اعمال شرط‌های  $v^t \geq \varepsilon$ ،  $u^t \geq \varepsilon$  و  $w \geq \varepsilon$  برای هر  $t$  می‌توان کارایی قوی را برای واحدها ارزیابی نمود که  $\varepsilon$  برداری با طول مناسب از اعداد غیرارشمیدسی بی‌نهایت کوچک است.

مدل‌های (۵) و (۶) کارایی زیر واحد مرکزی و کارایی کلی شبکه را محاسبه می‌نمایند. اگر یک واحد کارا نباشد تعیین منشا ناکارایی از اهمیت زیادی برخوردار است. در مدل‌های شبکه‌ای این کار با تعیین نمره کارایی زیر واحدها انجام می‌گیرد. اگر مدل (۶) باشد نمره کارایی زیر واحد فرعی  $t$  به صورت زیر محاسبه می‌گردد:

$$e^t = \frac{u^{t*} y_j^t}{w^* z_j^t + v^{t*} x_j^t}, \quad t=1, \dots, h.$$

۶۰۳

کارایی کلی شبکه به شکل زیر به کارایی بخش‌هایش تجزیه می‌شود، داریم:

$$u^{t*} y_o^t = \frac{u^{t*} y_o^t}{v^{t*} x_o^t + w^* z_o^t} \times (v^{t*} x_o^t + w^* z_o^t) = e^t (v^{t*} x_o^t + w^* z_o^t), \quad t=1, \dots, h. \quad (7)$$

با تعریف  $\alpha_t = v^{t*} x_o^t + w^* z_o^t$  برای  $t=1, \dots, h$  و جمع کردن رابطه (7) روی  $t$ ، تجزیه زیر را برای کارایی کلی خواهیم داشت:

$$e^* = \sum_{t=1}^h u^{t*} y_o^t = \sum_{t=1}^h \alpha_t e^t.$$

برای  $\alpha_t$  داریم:

$$\sum_{t=1}^h \alpha_t = \sum_{t=1}^h v^{t*} x_o^t + w^* \sum_{t=1}^h z_o^t = \sum_{t=1}^h v^{t*} x_o^t + e^0 v^0 x_o^0 = 1 - v^0 x_o^0 + e^0 v^0 x_o^0 = 1 - (1 - e^0) v^0 x_o^0 \leq 1.$$

که در آن از  $v^0 x_o^0 + \sum_{t=1}^h v^{t*} x_o^t = I$  استفاده شده است؛ بنابراین با تعریف:

$$\alpha'_t = \frac{\alpha_t}{1 - (1 - e^0) v^0 x_o^0}, \quad t=1, \dots, h.$$

تجزیه کامل کارایی کلی شبکه را به صورت زیر خواهیم داشت:

$$e^* = \sum_{t=1}^h \alpha'_t (1 - (1 - e^0) v^0 x_o^0) e^t = (1 - (1 - e^0) v^0 x_o^0) \sum_{t=1}^h \alpha'_t e^t. \quad (8)$$

که در آن  $\sum_{t=1}^h \alpha'_t = 1$  و درنتیجه کارایی کلی، حاصل ضرب عبارتی بر حسب کارایی گره مرکزی در ترکیب محدودی از کارایی

گره‌های فرعی است. اگر گره مرکزی کارا باشد یعنی  $e^0 = 1$  آنگاه کارایی کلی شبکه، صرفا ترکیب محدودی از کارایی گره‌های فرعی است؛

بنابراین اگر همه گره‌های شبکه، کارا باشند کل شبکه کارا خواهد بود. با فرض اینکه هیچ یک از  $\alpha'_t$  ها صفر نباشند و ترکیب محدود فوق،

یک ترکیب محدود اکید باشد در این صورت عکس این مطلب نیز برقرار است؛ یعنی اگر یک واحد ستاره‌ای، کارا باشد تمام بخش‌هایش

کاراست. مثلا در ارزیابی کارایی قوی، تمام وزن‌ها نااصر بوده و درنتیجه تمام  $\alpha'_t$  ها نااصر می‌باشند. در این حالت، قضیه زیر را داریم.

**قضیه ۱- یک واحد تصمیم‌گیرنده کارای قوی است اگر و فقط اگر تمام زیر واحدهایش کارای قوی باشند.**

درصورتی که DMU کارا نباشد با استفاده از تجزیه فوق می‌توان منشا ناکارایی را مشخص و نسبت به اصلاح آن چاره‌اندیشی کرد که این موضوع بزرگترین حسن تحلیل پوششی داده‌های شبکه‌ای است.

### ۳-۳- شکل پوششی

مدل‌های بخش‌های قبل در شکل مضری بیان گردیدند. با به دست آوردن دوگان مدل‌های (۵) و (۶) می‌توان این مدل‌ها را در شکل پوششی بیان نمود. شکل پوششی در تعیین نقطه تصویر و مجموعه مرجع اهمیت دارد. به علاوه حل شکل پوششی به روش سیمپلکس از نظر محاسباتی می‌تواند مناسب‌تر باشد. مدل‌های پوششی تحلیل پوششی داده‌ها برای ارزیابی کارایی شبکه‌های ستاره‌ای به صورت زیر هستند.



$$\min \theta$$

s.t.

$$\begin{aligned}
 & -\sum_{j=1}^n \mu_j x_j^0 + \theta x_o^0 \geq 0, \\
 & \sum_{j=1}^n \mu_j (\sum_{t=1}^h z_j^t) \geq \sum_{t=1}^h z_o^t, \\
 & \mu_j \geq 0, \quad j = 1, \dots, n.
 \end{aligned} \tag{۹}$$

$$\min \varphi$$

s.t.

$$\begin{aligned}
 & -\sum_{j=1}^n \mu_j x_j^0 + (e^\theta \eta + \varphi) x_o^0 \geq 0, \\
 & \sum_{j=1}^n \mu_j (\sum_{t=1}^h z_j^t) - \sum_{t=1}^h \sum_{j=1}^n \lambda_j^t z_j^t - \eta (\sum_{t=1}^h z_o^t) \geq 0, \\
 & -\sum_{j=1}^n \lambda_j^t x_j^t + \varphi x_o^t \geq 0, \quad t=1, \dots, h, \\
 & \sum_{j=1}^n \lambda_j^t y_j^t \geq y_o^t, \quad t=1, \dots, h, \\
 & \mu_j \geq 0, \quad j = 1, \dots, n, \\
 & \lambda_j^t \geq 0, \quad j = 1, \dots, n, \quad t = 1, \dots, h, \\
 & \eta \geq 0.
 \end{aligned} \tag{۱۰}$$

فرض کنید  $s^{-t}$ ,  $s^{+t}$ ,  $t=0, \dots, h$ ,  $x^t$ ,  $y^t$  متغیرهای اسلک به ترتیب نظری قیود و  $y_o^t$  باشند. اگر یک جواب بهینه مدل (۱۰) در اختیار باشد نقطه تصویر نظری واحد تصمیم‌گیرنده  $O$  به صورت زیر تعیین می‌شود:

$$\begin{pmatrix} \hat{x}_o^0 \\ \vdots \\ \hat{z}_o^t \\ \vdots \\ \hat{x}_o^t \\ \vdots \\ \hat{y}_o^t \end{pmatrix} = \begin{pmatrix} \sum_{j=1}^n \mu_j^* x_j^0 \\ \vdots \\ \sum_{j=1}^n \lambda_j^{t*} z_j^t \\ \vdots \\ \sum_{j=1}^n \lambda_j^{t*} x_j^t \\ \vdots \\ \sum_{j=1}^n \lambda_j^{t*} y_j^t \end{pmatrix} = \begin{pmatrix} (\varphi^* + e^\theta \eta^*) x_o^0 - s^{-t*} \\ \vdots \\ \sum_{j=1}^n \lambda_j^{t*} z_j^t \\ \vdots \\ \varphi^* x_o^t - s^{-t*} \\ \vdots \\ y_o^t + s^{+t*} \end{pmatrix}. \tag{۱۱}$$

که در نمایش فوق نظری هر یک از  $\hat{x}_o^0$ ,  $\hat{z}_o^t$ ,  $\hat{y}_o^t$ ، تعداد  $h$  مولفه وجود دارد. اگر  $s^{-t*}$ ,  $s^{+t*}$ ,  $t=0, \dots, h$  ماقسیم مقادیر بهینه خود را داشته باشند؛ مثلا اگر از مدل  $\epsilon$  دار یا مدل ماقسیم-اسلک حاصل شده باشند در این صورت نقطه تصویر تعیین شده در مدل (۱۱) تحت شرایط مساله یک نقطه کارای قوی است. باید توجه داشت که کارایی مدل (۱۰) مستقیماً نسبت به مجموعه امکان تولید شبکه ستاره‌ای یعنی:

$$\begin{aligned}
 T = & \{(x^0, z^0, \dots, z^h, x^1, \dots, x^h, y^1, \dots, y^h) / x^0 \geq \sum_{j=1}^n \mu_j x_j^0, \\
 & \sum_{t=1}^h z^t \leq \sum_{j=1}^n (\mu_j \sum_{t=1}^h z_j^t), z^t \geq \sum_{j=1}^n \lambda_j^t z_j^t, x^t \geq \sum_{j=1}^h \lambda_j^t x_j^t, \\
 & y^t \leq \sum_{j=1}^n \lambda_j^t y_j^t, \mu_j \geq 0, \lambda_j^t \geq 0, t = 1, \dots, h, j = 1, \dots, n\}.
 \end{aligned} \tag{۱۲}$$

محاسبه نمی‌گردد. به عبارت دیگر در مدل (۱۰) ارزیابی کارایی با اولویت‌دهی به گره مرکزی صورت می‌گیرد و درنتیجه تصویرسازی روی مجموعه قید مدل (۱۲) به شکل آزادانه نمی‌باشد. با این حال، تحت شرایط قضیه ذیل، کارایی نسبت به مجموعه امکان تولید کلی نیز حاصل می‌گردد.

**قضیه ۲ - اگر  $\eta^* = \tilde{\eta}$  و اسلک‌ها ماقسیم مقادیر بهینه خود را داشته باشند نقطه تصویر مدل (۱۱) کاراست.**

**اثبات:** ابتدا شدنی بودن  $(\hat{x}^0, \hat{z}^1, \dots, \hat{z}^h, \hat{x}^1, \dots, \hat{x}^h, \hat{y}^1, \dots, \hat{y}^h)$  در مجموعه امکان تولید را ثابت می‌کیم. همه قید مدل (۱۲) به جز

۶۰۵

$$\sum_{t=1}^h z^t \leq \sum_{j=1}^n (\mu_j \sum_{t=1}^h z_j^t)$$

$$\sum_{t=1}^h \hat{z}^t = \sum_{t=1}^h \sum_{j=1}^n \lambda_j^t z_j^t \leq \sum_{j=1}^n \mu_j \sum_{t=1}^h z_j^t - \eta^* \left( \sum_{t=1}^h z_o^t \right) = \sum_{j=1}^n \mu_j \sum_{t=1}^h z_j^t.$$

اگر نقطه تعریف شده در مدل (۱۱) کارا نباشد پس نقطه دیگری مثل  $(\tilde{x}^0, \tilde{z}^1, \dots, \tilde{z}^h, \tilde{x}^1, \dots, \tilde{x}^h, \tilde{y}^1, \dots, \tilde{y}^h)$  در مدل (۱۲) موجود است که آن را مغلوب نماید؛ یعنی  $\tilde{x}^0 \leq \hat{x}^0$  و  $\tilde{y}^t \geq \hat{y}^t$  ( $t = 1, \dots, h$ ) و نامساوی در حداقل یک عبارت و یک مولفه اکید است. توجه کنید که چون داده‌های واسطه دارای دو نقش متضاد ورودی و خروجی هستند در تعریف مغلوب بودن، محدودیتی برای  $z$  ها در نظر گرفته نمی‌شود. پس اگر  $\tilde{\mu}_j \geq 0$  و  $\tilde{\lambda}_j^t \geq 0$  ( $j = 1, \dots, n$ ,  $t = 1, \dots, h$ ) ضرایب نظیر نقطه  $\Omega$  در مدل (۱۲) باشد و تعریف کنیم:

$$s^{-0} = \hat{x}^0 - \tilde{x}^0 = (\varphi^* + e^0 \eta^*) x_o^0 - s^{-0*} - \sum_{j=1}^n \tilde{\mu}_j x_j^0,$$

$$s^{-t} = \hat{x}^0 - \tilde{x}^0 = \theta^* x_o^t - s^{-t*} - \sum_{j=1}^n \tilde{\lambda}_j^t x_j^t, \quad t = 1, \dots, h,$$

$$s^{+t} = \tilde{y}^t - \hat{y}^t = \sum_{j=1}^n \tilde{\lambda}_j^t y_j^t - y_o^t - s^{+t*}, \quad t = 1, \dots, h.$$

آنگاه این بردارهای اسلک نامنفی بوده و حداقل یکی از آن‌ها ناصفراست. با تعریف  $\tilde{s} = \tilde{s}^{+t} = s^{+t} + s^{+t*}$  و  $\tilde{s}^{-t} = s^{-t} + s^{-t*}$  برای  $t = 1, \dots, h$  و  $\tilde{\eta}^* = \eta^*$  داریم:

$$\sum_{j=1}^n \tilde{\mu}_j x_j^0 + \tilde{s}^{-0} = (\varphi^* + e^0 \eta^*) x_o^0 = (\varphi^* + e^0 \tilde{\eta}) x_o^0,$$

$$\sum_{j=1}^n \tilde{\lambda}_j^t x_j^t + \tilde{s}^{-t} = \theta^* x_o^t, \quad t = 1, \dots, h,$$

$$\sum_{j=1}^n \tilde{\lambda}_j^t y_j^t - \tilde{s}^{+t} = y_o^t, \quad t = 1, \dots, h,$$

$$\sum_{j=1}^n \tilde{\mu}_j (\sum_{t=1}^h z_j^t) - \sum_{t=1}^h \sum_{j=1}^n \tilde{\lambda}_j^t z_j^t - \tilde{\eta} \left( \sum_{t=1}^h z_o^t \right) \geq 0.$$

بنابراین به جواب  $(\tilde{x}^0, \tilde{z}^1, \dots, \tilde{z}^h, \tilde{x}^1, \dots, \tilde{x}^h, \tilde{y}^1, \dots, \tilde{y}^h)$  که یک جواب بهینه مدل (۱۰) است می‌رسیم که مجموع اسلک‌هایش بزرگ‌تر است و این تناقض اثبات قضیه را کامل می‌کند.

در مقایسه با مدل‌های پیشنهادی توسط یان و همکاران (۲۰۱۹) و امانی و باقرزاده هلمی (۲۰۱۸) که دارای مجموعه امکان هستند مدل (۱۰) نمایش دقیقی از شبکه ستاره‌ای دارد. درواقع مجموعه امکان تولید مدل (۱۳)، ساختار شبکه‌ای و روابط بین زیر واحدها را در نظر نمی‌گیرد و ارزیابی شبکه در مدل حاصل از آن با ارزیابی گره مرکزی مجازی به انجام می‌رسد. بدین ترتیب برخلاف مدل (۱۰) و دیگر مدل‌های شبکه‌ای، تنها یک مجموعه متغیر  $\lambda$  برای کلیه گره‌های شبکه وجود دارد و قیود پیونددهنده گره‌ها نیز وجود ندارد. درنتیجه، مدل شبکه‌ای حاصل از مدل (۱۳) به یک مدل ساده (جعبه سیاه) تبدیل می‌شود که تنها به آن ورودی یا خروجی‌هایی از جنس محصولات میانی ( $z$ ) اضافه شده است. ماهیت ورودی یا خروجی این محصولات توسط مدل به گونه‌ای تعیین می‌شود که بیشترین نمره کارایی برای واحد تحت بررسی به دست آید. از آن جاکه در ساختار شبکه‌ای، پیوندها نقش خروجی برای یک گره و ورودی برای یک گره را دارد، این عمل موجب دور شدن از واقعیت مساله و نیز استفاده از معیارهای متفاوت در ارزیابی  $DMUs$  متفاوت می‌گردد. به علاوه، نمایش مدل (۱۲) برای مجموعه امکان تولید، آزادی عملی بیشتری برای مدل‌سازی مسائل دنیای واقعی مثل ارزیابی دوسته، داده‌های اشتراکی و ... می‌دهد.





(۱۳)

$$\begin{aligned}
 T = \{(x^1, \dots, x^h, z^1, \dots, z^h, y^1, \dots, y^h) / & x^t \geq \sum_{j=1}^n \lambda_j x_j^t, t = 0, \dots, h, \\
 & y^t \leq \sum_{j=1}^h \lambda_j y_j^t, (z^t \geq \sum_{j=1}^n \lambda_j z_j^t \text{ or } z^t \leq \sum_{j=1}^n \lambda_j z_j^t), t = 1, \dots, h, \\
 & \lambda_j \geq 0, j = 1, \dots, n\}.
 \end{aligned}$$

مدل‌های توسعه داده شده در این بخش، مدل‌های شعاعی در ماهیت ورودی و با بازده به مقیاس ثابت بودند. به طور مشابه می‌توان برای ماهیت خروجی و یا بازده به مقیاس متغیر، مدل‌های DEA با ساختار ستاره‌ای را به دست آورد. مثلاً با اضافه کردن قیود زیر به مدل‌های (۹) و (۱۰) می‌توان مدل‌ها را برای بازده به مقیاس متغیر به دست آورد.

$$\begin{aligned}
 \sum_{j=1}^n \mu_j &= 1, \\
 \sum_{j=1}^n \lambda_j^t &= 1, t = 1, \dots, h.
 \end{aligned}$$

#### ۴- مثال عددی

در این بخش با استفاده از یک مثال عددی، عملکرد مدل‌های پیشنهادی و اعتبار نتایج به دست آمده در بخش‌های قبلی بررسی می‌گردد. مساله موردنظر، شبکه‌ای شامل یک گره مرکزی و سه گره فرعی است. گره مرکزی دارای دو ورودی ( $x_1^0, x_2^0$ ) و سه خروجی ( $z^1, z^2, z^3$ ) است که هر خروجی به یکی از گره‌های فرعی علاوه بر این ورودی یک ورودی نیز از جهان بیرون دریافت می‌نمایند ( $x^1, x^2, x^3$ ) و با استفاده از این دو ورودی، محصول نهایی را تولید می‌نمایند ( $y^1, y^2, y^3$ ). تعداد ۱۶ شبکه با ساختار فوق در نظر گرفته شده است. کلیه داده‌ها به صورت تصادفی تولید گردیده‌اند که در جدول ۱ دیده می‌شوند. برای ارزیابی کارایی شبکه ستاره‌ای از مدل‌های (۹) و (۱۰) استفاده شده است. نتایج ارزیابی کارایی گره مرکزی و کل شبکه در جدول ۲ گزارش گردیده است.

چهار واحد دارای گره مرکزی کارا هستند که در میان آن‌ها فقط یکی دارای کارایی کلی شبکه است. دو واحد نیز بدون اینکه دارای کارایی در گره مرکزی باشند به کارایی شعاعی کلی می‌رسند. بر عکس، برخی از واحدها مثل واحدهای ۳ و ۴ که دارای کارایی در گره مرکزی هستند از نمره پایینی در کارایی کلی برخوردارند. در جدول ۲ رتبه‌بندی واحدها نیز ارایه شده است. واحدهای ۱، ۳، ۴ و ۶ بیشترین کارایی واحد ۱۱ کمترین کارایی را در گره مرکزی دارند. واحدهای ۲، ۶ و ۹ بالاترین کارایی واحد ۱۰ پایین‌ترین کارایی را در عملکرد کلی شبکه دارند. در صورتی که بخواهیم رتبه‌بندی بر اساس هر دو نمره کارایی مرکزی و کلی انجام شود شبکه ۶ بیشترین کارایی را دارد و موفق شده است هم گره مرکزی کارا و هم شبکه کارا داشته باشد. این معیار، مجددًا شبکه ۱۰ را به عنوان ناکاراترین شبکه انتخاب می‌نماید که هم در گره مرکزی و هم کل شبکه عملکرد نامناسبی دارد.

برای ارزیابی کارایی قوی، لازم است علاوه بر ناکارایی شعاعی، وجود ناکارایی غیرشعاعی (ترکیبی) هم بررسی شود. روش‌های مختلفی برای ارزیابی کارایی قوی وجود دارد. در اینجا ما از مدل پوششی با ضرایب ۴- برای متغیرهای اسلک در تابع هدف استفاده می‌کیم. مقدار استفاده شده برای ۴، ۷-۱۰ است. بدین ترتیب اولویت اول مدل، تصویرسازی شعاعی واحد تحت ارزیابی است و با اولویت پایین‌تر، ماکسیمم‌سازی متغیرهای اسلک انجام می‌شود. هر مقدار ناصفر برای اسلک‌ها باعث کاهش نسبتاً جزئی نمره کارایی واحد می‌گردد. همان‌طور که از جدول ۲ مشاهده می‌شود با اضافه کردن اسلک‌ها به تابع هدف، کارایی هیچ‌یک از واحدها تغییر نمی‌کند. دلیل این نتیجه آن است که در ارزیابی کارایی گره مرکزی، کلیه واحدها بر روی مز کارایی قوی تصویر می‌گردند و اسلک‌های بهینه در کلیه واحدها صفر می‌شود. بهخصوص در مورد واحدهای کارا مشاهده می‌شود که هیچ‌یک از واحدها نمی‌توانند کارایی خود را حفظ نمایند و نمره کارایی همه آن‌ها از یک کاهش می‌یابد. بیشترین نمره کارایی در این حالت به واحد ۶ می‌رسد که دارای کارایی مرکزی نیز هست. کارا بودن هیچ‌یک از شبکه‌ها، یک تفاوت مهم روش به کار رفته در این مقاله نسبت به روش‌های موجود است. در اینجا لازم است کارایی کلی شبکه با حفظ کارایی گره مرکزی محاسبه گردد. لذا این روش ارزیابی نسبت به روش‌های سنتی تحلیل پوششی داده‌های شبکه‌ای، سخت‌گیرانه‌تر است. یک حسن این روش، دستیابی به تمایز بیشتری بین نمره کارایی واحدها بدون نیاز به متولسل شدن به روش‌های رتبه‌بندی نظیر روش

ابرکارایی است. این موضوع در این مثال نیز به روشنی دیده می شود و یک رتبه بندی کامل از همه واحدها به دست می آید که در آن، واحد ۶ دارای بالاترین رتبه واحد ۱۴ دارای پایین ترین رتبه است.



برای بررسی صحت مدل پیشنهادی، نتایج را برای چند  $DMU$  بررسی می کنیم. جواب بهینه مدل مضری (۶) با  $\epsilon = 10^{-7}$  برای واحد ۱ عبارت است از:

$$(u_1^0, u_2^0, w, u^1, u^2, u^3, v^1, v^2, v^3) = (0.001374, 10^{-7}, 0.003882, 10^{-7}, 10^{-7}, 10^{-7}, 0.0000022, 0.00000216, 0.00007314).$$

۶۰۷

جدول ۱-داده های مساله.

Table 1- Example data.

زیر واحد ۳			زیر واحد ۲			زیر واحد ۱			داده های میانی			زیر واحد مرکزی		واحد
$y^3$	$x^3$		$y^2$	$x^2$		$y^1$	$x^1$	$z^3$	$z^2$	$z^1$	$x_2^0$	$x_1^0$		
9710.6	93.87	7300	67.98	873	202.8	227.25	27.55	2.81	96	727.78	1			
1801	11.83	45238.1	50.12	1471.4	48.51	69.24	84.5	5.66	87	970.51	2			
2260	75.93	34210	611.5	1350	262	181.26	183.6	6.25	24	3624	3			
863.2	65.49	6773.3	109.6	767.82	139.26	147.25	122.7	5.57	19	1399.26	4			
914.9	10.37	844.21	130.72	808.01	89.88	26.26	97.19	6.86	89	890.88	5			
2070.9	14.94	69012	68	1710	73	273.93	72.07	4.69	37	1037	6			
5620	46.23	75020	413.2	4750	430.6	165.11	41.83	2.68	33	3303.6	7			
1058	3.96	33543	410.8	1335.2	241.8	104.94	93.85	5.39	41	1410.8	8			
6100.9	6.93	2107.8	667.49	621	157.24	114.95	27.93	7.74	17	1706.24	9			
2900	92.37	7500.5	891	375	593	126.64	59.99	3.17	49	4992	10			
1837	71.12	29137	503.3	1291.3	183	72.56	35.25	7.17	63	1463	11			
964.8	50.04	80200.4	83	1080	105	57.3	122	8.15	91	951	12			
1570	76.14	9504	281.82	1395	278.87	102.46	159.5	3.89	28	2788.87	13			
1345	22.37	34550.5	801.44	1345	68.57	178.99	94.48	6.55	83	883.57	14			
909	66.72	26110	89.18	1260	81.59	77.68	38.43	5.72	79	709.59	15			
3023.2	42.85	3046.7	892.14	300.04	228.31	73.97	52.64	6.19	11	1982.31	16			

جدول ۲- نتایج کارایی.

Table 2- Efficiency results.

شماره واحد	کارایی شعاعی			$\eta^*$	کارایی ماکسیمم-اسلک			کارایی گره مرکزی کلی						
	کارایی گره مرکزی کلی	کارایی گره مرکزی کلی	کارایی گره مرکزی کلی		کارایی گره مرکزی کلی	کارایی گره مرکزی کلی	کارایی گره مرکزی کلی							
3	1	0.72793		1	0	0.72794		1	1					
1	9	0.99853		0.47328	0	1		0.47328	2					
11	1	0.19753		1	0	0.19753		1	3					
12	1	0.18038		1	0	0.18177		1	4					
9	11	0.29237		0.41947	0	0.29638		0.41946	5					
1	1	0.99884		1	0.19753	1		1	6					
6	10	0.39166		0.42833	0	0.39166		0.42833	7					
8	8	0.29664		0.48915	0	0.30348		0.48915	8					
1	5	0.98201		0.59730	0	1		0.59730	9					
14	12	0.08111		0.26080	0	0.08112		0.26080	10					
10	13	0.22785		0.23157	0	0.23264		0.23157	11					
2	6	0.95083		0.56636	0	0.9521		0.56636	12					
13	4	0.16252		0.64050	0	0.16492		0.64050	13					
4	2	0.63066		0.91138	0	0.64668		0.91138	14					
5	7	0.50684		0.48972	0	0.50914		0.48972	15					
7	3	0.34582		0.78073	0.44299	0.34587		0.78075	16					

کارایی واحد مرکزی به ازای این وزن ها برابر است با ۱ که همان نتیجه ای است که از مدل (۵) حاصل گردیده است. به عبارت دیگر تعیین وزن ها توسط مدل (۶) با حفظ کارایی گره مرکزی و ماکسیمم نمودن کارایی کلی شبکه صورت می گیرد. تجزیه کارایی برای واحد ۷ به صورت زیر است:

$$\alpha'_1 e^1 + \alpha'_2 e^2 + \alpha'_3 e^3 = 0.0109278 \times 0.175686 + 0.106948 \times 0.147773 + 0.882125 \times 0.805106 = 0.727928.$$

توجه کنید که در اینجا عبارت  $(v^0 x^0)^{1-(1-e^0)}$  برقرار است. مشابهًا برای واحد ۷ جواب بهینه زیر را داریم:

$$(u_1^0, u_2^0, w, u^1, u^2, u^3, v^1, v^2, v^3) = (0.00002134, 0.0233118, 0.00171595, 0.00019487, 0.00018468, 10^{-7}, 0.00001303, 0.00000197, 0.000003233).$$

که به کارایی مرکزی  $428326$  و تجزیه کارایی زیر منجر می شود:



$$(1 - (1 - e^0)v^0 x_0^0)(\alpha'_1 e^1 + \alpha'_2 e^2 + \alpha'_3 e^3) = (0.519921)(0.170235 \times 0.699026 + 0.284825 \times 1. + 0.544941 \times 0.641317) \\ = 0.519921 \times 0.753303 = 0.391658.$$

تجزیه فوق سهم زیر واحد مرکزی و زیر واحد های فرعی را در کارایی کلی نشان می دهد و بدین ترتیب تصمیم گیران می توانند برای افزایش کارایی شبکه، اولویت گذاری های لازم را انجام دهنند. تصویرسازی با استفاده از رابطه (۱۱) انجام می شود. برای واحد ۱ با داده های ۹۷۱۰/۶، ۷۳۰۰، ۸۷۳، ۹۳/۸۷، ۶۷/۹۸، ۲۰۲/۸، ۲۲۷/۲۵، ۲۷/۵۵، ۲/۸۱، ۹۶، ۷۲۷/۷۸ نقطه تصویر به صورت زیر است:

$$(\hat{x}_1^0, \hat{x}_2^0, \hat{z}^1, \hat{z}^2, \hat{x}^2, \hat{x}^3, \hat{y}^1, \hat{y}^2, \hat{y}^3) = \\ (529.781, 69.8824, 0.492556, 4.07037, 182.962, 79.1397, 40.2074, 11.0303, 873, 7300, 9710.6).$$

که چون  $\eta^* = 0$ ، این نقطه کارای قوی در مجموعه امکان تولید است. برای بررسی صحت این موضوع، این نقطه را به مجموعه داده ها اضافه می کنیم و مجدداً واحد ها را ارزیابی می نماییم که نشان می دهد نقطه تصویر، هم دارای کارایی مرکزی و هم کارایی کلی است. بررسی نقاط تصویر دیگر *DMUs* نیز صحت قضیه ۲ را تایید می نماید.

## ۵- نتیجه گیری

در این مقاله، روش تحلیل پوششی داده ها برای ارزیابی کارایی شبکه های ستاره ای مورد بحث قرار گرفت. شبکه ستاره ای تعریف و یک روش دو سطحی برای ارزیابی کارایی آن ارایه گردید. در شبکه های ستاره ای یک گره مرکزی با تعدادی گره فرعی وجود دارند و فرآیند تولید از گره مرکزی آغاز می گردد. گره مرکزی، محصولات میانی را تولید می کند که این محصولات به گره های فرعی برای تکمیل فرآیند ارسال می گرددند. با توجه به نقش کلیدی گره مرکزی در شبکه ستاره ای، لازم است ارزیابی کارایی با اولویت دهنی به گره مرکزی انجام شود. در روش پیشنهادی، ابتدا کارایی گره مرکزی بدون در نظر گرفتن گره های فرعی محاسبه می گردد و سپس در سطح دوم، کارایی کلی شبکه با حفظ نمره کارایی مرکزی ارزیابی می شود.

یک گام مهم در ارزیابی شبکه ها، تجزیه کارایی کلی به کارایی زیر واحد ها است. در این مقاله، فرمول های لازم برای تجزیه کارایی شبکه ستاره ای ارایه گردید و نشان داده شد که چگونه می توان کارایی کلی را به صورت ترکیبی از کارایی گره مرکزی و گره های فرعی بیان نمود. مجموعه امکان تولید شبکه ستاره ای تعریف و نموده به دست آوردن نقطه تصویر بر اساس جواب بهینه مدل های پوششی شرح داده شد. با استفاده از یک مثال عددی، مدل پیشنهادی مورد آزمون قرار گرفت و صحت نتایج، روابط و قضایای بیان شده در مقاله مورد بررسی و تایید شد. شبکه ستاره ای معرفی شده در این مقاله نیاز به پژوهش و توسعه بیشتر در موضوعاتی نظیر ابر کارایی، ارزیابی دومرzi، اندازه کارایی مبتنی بر اسلک ها و غیره دارد.

## مشارکت نویسنده‌گان

نویسنده اول، طرح مساله، مدل سازی و تحلیل ریاضی مدل ها را بر عهده داشته است. نویسنده دوم، جمع آوری مقالات مرتبط، پیاده سازی مدل ها و انجام برخی اصلاحات روی مدل ها را به انجام رسانیده است.

## سپاسگزاری

نویسنده کان مقاله، مراتب قدردانی و سپاس خود را از وقت و دقیقی که دیگران و داران برای ارزیابی مقاله صرف کرده اند ابراز می نمایند. نکات و پیشنهادهای ارایه شده، به بهبود مقاله کمک نمود.

## تعارض با منافع

نویسنده کان اعلام می دارند که هیچ تضادی در منافع در مورد انتشار این مقاله وجود ندارد.



- Akther, S., Fukuyama, H., & Weber, W. L. (2013). Estimating two-stage network slacks-based inefficiency: an application to Bangladesh banking. *Omega*, 41(1), 88-96. <https://doi.org/10.1016/j.omega.2011.02.009>
- Amani, N., & Bagherzadeh Valami, H. (2018). Efficiency evaluation of regional electronic companies in Iran by network DEA: A based on the conversion of the structures into a uniform structure. *Journal of decisions and operations research*, 3(3), 249-280. (In Persian). DOI: [10.22105/DMOR.2018.81213](https://doi.org/10.22105/DMOR.2018.81213)
- Amirteimoori, A. & Yang, F. (2014). A DEA model for two-stage parallel-series production processes. *RAIRO-operations research*, 48(1), 123-134. <https://doi.org/10.1051/ro/2013057>
- Amirteimoori, A. (2013). A DEA two-stage decision processes with shared resources. *Central European journal of operations research*, 21(1), 141-151. <https://doi.org/10.1007/s10100-011-0218-3>
- Amirteimoori, A., Shahroodi, K., & Shaker Mahmoodkiani, F. (2015). Network data envelopment analysis: application to gas companies in Iran. *International journal of applied operational research*, 5(1), 1-16. <http://ijorlu.liau.ac.ir/article-1-440-fa.html>
- Castelli, L., Pesenti, R., & Ukovich, W. (2004). DEA-like models for the efficiency evaluation of hierarchically structured units. *European journal of operational research*, 154(2), 465-476. [https://doi.org/10.1016/S0377-2217\(03\)00182-6](https://doi.org/10.1016/S0377-2217(03)00182-6)
- Charnes, A., Cooper, W. W., & Rhodes, E. (1978). Measuring the efficiency of decision making units. *European journal of operational research*, 2(6), 429-444. [https://doi.org/10.1016/0377-2217\(78\)90138-8](https://doi.org/10.1016/0377-2217(78)90138-8)
- Chen, Y., Cook, W. D., Li, N., & Zhu, J. (2009). Additive efficiency decomposition in two-stage DEA. *European journal of operational research*, 196(3), 1170-1176. <https://doi.org/10.1016/j.ejor.2008.05.011>
- Cook, W. D., Zhu, J., Bi, G., & Yang, F. (2010). Network DEA: Additive efficiency decomposition. *European journal of operational research*, 207(2), 1122-1129. <https://doi.org/10.1016/j.ejor.2010.05.006>
- Färe, R., & Grosskopf, S. (1996). Productivity and intermediate products: a frontier approach. *Economics letters*, 50(1), 65-70. [https://doi.org/10.1016/0165-1765\(95\)00729-6](https://doi.org/10.1016/0165-1765(95)00729-6)
- Färe, R., & Grosskopf, S. (2000). Network DEA. *Socio-economic planning sciences*, 34, 35-49. [https://doi.org/10.1016/S0038-0121\(99\)00012-9](https://doi.org/10.1016/S0038-0121(99)00012-9)
- Fukuyama, H. & Mirdehghan, S. M. (2012). Identifying the efficiency status in network DEA. *European journal of operational research*, 220(1), 85-92. <https://doi.org/10.1016/j.ejor.2012.01.024>
- Kao, C., & Hwang, S. N. (2008). Efficiency decomposition in two-stage data envelopment analysis: an application to non-life insurance companies in Taiwan. *European journal of operational research*, 185(1), 418-429. <https://doi.org/10.1016/j.ejor.2006.11.041>
- Kaveh, M., Ardakani, S. S., Shafiee, M., & Tabatabai Nasab, S. M. (2020). Predicting and benchmarking the factors of customer attraction in insurance companies by the model of network data envelopment analysis and the theory of dynamics of bass publishing. *Journal of decisions and operations research*, 5(3), 382-401. (In Persian). DOI: [10.22105/DMOR.2020.237734.1188](https://doi.org/10.22105/DMOR.2020.237734.1188)
- Lewis, H. F., & Sexton, T. R. (2004). Network DEA: Efficiency analysis of organizations with complex internal structure. *Computers & operations research*, 31(9), 1365-1410. [https://doi.org/10.1016/S0305-0548\(03\)00095-9](https://doi.org/10.1016/S0305-0548(03)00095-9)
- Liang, L., Cook, W. D., & Zhu, J. (2008). DEA models for two-stage processes: game approach and efficiency decomposition. *Naval research logistics*, 55(7), 643-653. <https://doi.org/10.1002/nav.20308>
- Maghbouli, M., Amirteimoori, A., & Kordrostami, S. (2014). Two-stage network structures with undesirable outputs: A DEA based approach. *Measurement*, 48, 109-118. <https://doi.org/10.1016/j.measurement.2013.10.032>
- Rahimi, A., & Hosseinzadeh Saljooghi, F. (2018). Multi-objective programming model for determining the efficiency and returns to scale in supply chain management of two-stage: a case study of resin companies in Iran. *Journal of decisions and operations research*, 2(3), 213-227. (In Persian). DOI: [10.22105/DMOR.2018.57124](https://doi.org/10.22105/DMOR.2018.57124)
- Tone, K., & Tsutsui, M. (2009). Network DEA: a slacks-based measure approach. *European journal of operational research*, 197(1), 243-252. <https://doi.org/10.1016/j.ejor.2008.05.027>
- Vaezi, H., & Memarpour, M. (2018). Evaluation of the performance and ranking of the efficiency of Tehran branches of a private bank using two-stage data envelope analysis and Borda ranking technique. *Journal of decisions and operations research*, 2(2), 116-129. (In Persian). DOI: [10.22105/DMOR.2018.55774](https://doi.org/10.22105/DMOR.2018.55774)
- Yan, Q., Zhao, F., Wang, X., Yang, G., Baležentis, T., & Streimikiene, D. (2019). The network data envelopment analysis models for non-homogenous decision making units based on the sun network structure. *Central European journal of operations research*, 27(4), 1221-1244. <https://doi.org/10.1007/s10100-018-0560-9>